

การศึกษาสมรรถนะของเครื่องคอมพิวเตอร์ปั้นร่วมกับห้องแลกเปลี่ยนความร้อน

นางสาวนิรุบล กาญจนางกูรพันธุ์

ศูนย์วิทยทรัพยากร มหาลงกรณ์มหาวิทยาลัย

วิทยานิพนธ์นี้เป็นส่วนหนึ่งของการศึกษาตามหลักสูตรปริญญาวิศวกรรมศาสตรมหาบัณฑิต
สาขาวิชาบริหารเครื่องกล ภาควิชาบริหารเครื่องกล

คณะวิศวกรรมศาสตร์ จุฬาลงกรณ์มหาวิทยาลัย

ปีการศึกษา 2545

ISBN 974-17-2374-1

ลิขสิทธิ์ของจุฬาลงกรณ์มหาวิทยาลัย

A STUDY ON THE PERFORMANCE OF
A COMBINED HEAT PUMP-HEAT PIPE DRYER

Miss Nirubon Kanjanangkoonphun

ศูนย์วิทยบรังษยการ
A Thesis Submitted in Partial Fulfillment of the Requirements
for the Degree of Master of Engineering in Mechanical Engineering
Department of Mechanical Engineering

Faculty of Engineering

Chulalongkorn University

Academic Year 2002

ISBN 974-17-2374-1

หัวข้อวิทยานิพนธ์ การศึกษาสมรรถนะเครื่องอบแห้งชนิดใช้อีตปั๊มร่วมกับท่อแลกเปลี่ยน
ความร้อน
โดย นางสาวนิรุบล กาญจนางกูรพันธุ์
สาขาวิชา วิศวกรรมเครื่องกล
อาจารย์ที่ปรึกษา ผู้ช่วยศาสตราจารย์ ดร.ตุลย์ มณีวัฒนา

คณะวิศวกรรมศาสตร์ จุฬาลงกรณ์มหาวิทยาลัย อนุมัติให้บัณฑิตวิทยานิพนธ์ฉบับนี้
เป็นส่วนหนึ่งของการศึกษาตามหลักสูตรปริญญามหาบัณฑิต

Abub คณบดี คณะวิศวกรรมศาสตร์
(ศาสตราจารย์ ดร.สมศักดิ์ ปัญญาแก้ว)

คณะกรรมการสอบบัณฑิตวิทยานิพนธ์

ทวี เวชพุฒิ ประธานกรรมการ
(รองศาสตราจารย์ ทวี เวชพุฒิ)

มนต์ พูล อาจารย์ที่ปรึกษา
(ผู้ช่วยศาสตราจารย์ ดร.ตุลย์ มณีวัฒนา)

สุวิทย์ พงษ์งาม กรรมการ
(รองศาสตราจารย์ ดร.มานิจ ทองประเสริฐ)

นิรากอร์ ชัยมงคล กรรมการ
(ผู้ช่วยศาสตราจารย์ ถชากร จิราลาสาน)

จุฬาลงกรณ์มหาวิทยาลัย

นางสาวนิรุบล กาญจนางกูรพันธุ์ : การศึกษาสมรรถนะของเครื่องอบแห้งชนิดใช้ฮีตปัมร่วมกับท่อแลกเปลี่ยนความร้อน (A STUDY ON THE PERFORMANCE OF A COMBINED HEAT PUMP-HEAT PIPE DRYER), อ. ทีปรึกษา : ผศ ดร. ตุลย์ มณีวัฒนา, 207 หน้า. ISBN 974-17-2374-1

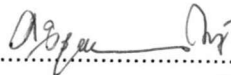
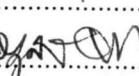
การอบแห้งเป็นวิธีที่ช่วยให้สามารถเก็บรักษาผลผลิตทางการเกษตรที่มีมากในแต่ละฤดูกาลได้ดีนาน กระบวนการอบแห้งด้วยเครื่องอบแห้งชนิดใช้เครื่องทำความร้อนเป็นวิธีหนึ่งที่มีใช้กันอยู่ในปัจจุบัน แต่ปัญหาที่สำคัญของการใช้เครื่องอบแห้งแบบนี้คือ มีค่าใช้จ่ายด้านพลังงานสูง การออกแบบเครื่องอบแห้งชนิดใช้ฮีตปัมร่วมกับท่อแลกเปลี่ยนความร้อนจะช่วยลดค่าใช้จ่ายด้านพลังงานลงได้ นอกจากนั้นแล้ว ยังจะช่วยเพิ่มคุณภาพของผลผลิตอีกด้วย

งานวิจัยนี้ เป็นการศึกษาสมรรถนะของเครื่องอบแห้งชนิดใช้ฮีตปัมร่วมกับท่อแลกเปลี่ยนความร้อน และเปรียบเทียบความแตกต่างระหว่างกระบวนการอบแห้งแบบใช้ฮีตปัมร่วมกับท่อแลกเปลี่ยนความร้อนกับกระบวนการอบแห้งแบบใช้เครื่องทำความร้อน

จากการทดลองเพื่อหาจุดทำงานที่เหมาะสมสำหรับกระบวนการอบแห้งด้วยเครื่องอบแห้งชนิดใช้ฮีตปัมร่วมกับท่อแลกเปลี่ยนความร้อน พบร้า อุณหภูมิอบแห้งที่เหมาะสมมีค่าอยู่ที่ประมาณ 60 องศาเซลเซียส ความเร็วลมของอากาศประมาณ 1.20 เมตรต่อวินาที ที่อุณหภูมิและความเร็วลมดังกล่าวเครื่องจะสามารถอบแห้งได้ภายในเวลาประมาณ 16 ชั่วโมง และสามารถทำให้น้ำระเหยออกประมาณ 0.55 กิโลกรัมต่อชั่วโมง ใช้พลังงานไฟฟ้าประมาณ 111.9 เมกะจูลต่อกิโลกรัมน้ำระเหย ค่าใช้จ่ายเฉลี่ยตลอดอายุการใช้งานที่ใช้ในการอบแห้งจะมีค่าอยู่ที่ประมาณ 46.9 บาทต่อกิโลกรัมน้ำระเหย ผลจากการเปรียบเทียบประมาณจากการใช้เครื่องอบแห้งทั้ง 2 ชนิด พบร้า เครื่องอบแห้งชนิดใช้ฮีตปัมร่วมกับท่อแลกเปลี่ยนความร้อนมีประสิทธิภาพสูงกว่าและสามารถลดค่าใช้จ่ายตลอดอายุการใช้งานและประหยัดพลังงานไฟฟ้าลงได้ประมาณ 23 และ 35 เปอร์เซ็นต์ ตามลำดับ

จุฬาลงกรณ์มหาวิทยาลัย

ภาควิชา วิศวกรรมเครื่องกล
สาขาวิชา วิศวกรรมเครื่องกล
ปีการศึกษา 2545

ลายมือชื่อนิสิต 
 ลายมือชื่ออาจารย์ที่ปรึกษา 

4370365021 : MAJOR MECHANICAL ENGINEERING

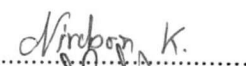
KEYWORD : DRYER / HEAT PUMP / HEAT PIPE

NIRUBON KANJANANGKOONPHUN : A STUDY ON THE PERFORMANCE OF A
COMBINED HEAT PUMP-HEAT PIPE DRYER, THESIS ADVISOR : ASST.
PROF.TUL MANEEWATTANA , Ph.D., 207 pp. ISBN 974-17-2374-1

Drying process is the method to help preserve the excess agricultural products in its season for later use. Drying process by using electric heater is one of the methods practically use today, however the cost of the energy consumption is very high. The alternative drying method that use a combined heat pump-heat pipe drying process is a better way to decrease the energy consumption expenses and also increase the product quality.

This research studied the performance of a combined heat pump-heat pipe dryer and compare the differences between a drying process using heater and a combined heat pump-heat pipe.

Experiment was conducted to find the optimum operating point for dryer with a combined heat pump-heat pipe. It was found that the optimum drying temperature is approximately 60 °C and the optimum wind velocity is approximately 1.20 m/s. At this temperature and wind velocity the machine could dry the product within about 16 hours and make the water evaporates out at the rate of about 0.55 kg per hour. The energy consume is approximately 111.9 MJ per kg of water evaporated. The average life cycle cost per kg of water evaporated is approximately 46.9 baht. Results from the comparison between the efficiency of both machines indicate that a combined heat pump-heat pipe dryer has a much better efficiency and it could decrease a life cycle cost and save electrical energy consumption to approximately 23 and 35 percent respectively.

Department Mechanical Engineering Student's Signature.....

Field of study Mechanical Engineering Advisor's Signature.....

Academic year 2002

กิตติกรรมประกาศ

วิทยานิพนธ์นี้สำเร็จลงได้ด้วยดี โดยได้รับความช่วยเหลือ และความอนุเคราะห์จากหลายฝ่ายด้วยกัน ข้าพเจ้าขอกราบขอบพระคุณ ผู้ช่วยศาสตราจารย์ ดร.ตุลย์ มณีวัฒนา อาจารย์ที่ปรึกษา ที่ได้ช่วยเหลือให้คำปรึกษา และข้อแนะนำต่างๆ ที่นำมาซึ่งความสมบูรณ์ของวิทยานิพนธ์ฉบับนี้ รวมถึง รองศาสตราจารย์ ทวี เวชพฤติ รองศาสตราจารย์ ดร.มานิก ทองประเสริฐ และ ผู้ช่วยศาสตราจารย์ ฤชากร จิราภรณ์สาน

ขอขอบพระคุณ บริษัท เนเชอรัลกรีน อินโนเวชัน จำกัด ที่ให้ความอนุเคราะห์ ยืมเครื่องคอมพิวเตอร์ปั้มน้ำร่วมกับท่อแลกเปลี่ยนความร้อน สำหรับใช้ในการทำวิจัย และคุณ กิตติ ลีลาวนิชชัย ที่ได้ช่วยเหลือให้คำปรึกษาและข้อแนะนำต่างๆ

ขอขอบพระคุณ โรงงาน เกรทฟู้ดส์ (ดีไอเดรชัน) จำกัด ที่ให้ความอนุเคราะห์ สับปะรดแซ่บอิมสำหรับใช้ในการทำวิจัย

ขอขอบพระคุณภาควิชาเทคโนโลยีอาหาร คณะวิทยาศาสตร์ จุฬาลงกรณ์มหาวิทยาลัย ที่ให้ความอนุเคราะห์ยืมใช้เครื่องวัดความชื้น

ขอกราบขอบพระคุณบิดา และมารดา ซึ่งเคยเป็นกำลังใจให้ตลอดเวลาจนสำเร็จการศึกษา และขอขอบคุณรุ่นพี่ และเพื่อน ๆ ทุกคนในห้องปฏิบัติการวิจัยทางเทคโนโลยีอาหาร และสิ่งแวดล้อม ภาควิชาวิศวกรรมเครื่องกล จุฬาลงกรณ์มหาวิทยาลัย ที่ให้ความช่วยเหลือทั้งด้านกำลังกายและกำลังใจตลอดการทำวิจัยจนสำเร็จลุล่วงไปได้ด้วยดี

**ศูนย์วิทยทรัพยากร
จุฬาลงกรณ์มหาวิทยาลัย**

สารบัญ

หน้า

บทคัดย่อวิทยานิพนธ์	๑
บทคัดย่อวิทยานิพนธ์อังกฤษ	๑
กิตติกรรมประกาศ	๒
สารบัญ	๓
สารบัญตาราง	๘
สารบัญภาพ	๙
คำอธิบายสัญลักษณ์และคำย่อ	๙
บทที่ 1 บทนำ	๑
1.1 ความเป็นมาและความสำคัญของปัญหา	๑
1.2 วัตถุประสงค์ของการวิจัย	๕
1.3 ขอบเขตของการวิจัย	๕
1.4 วิธีดำเนินการวิจัย	๕
1.5 ประโยชน์ที่คาดว่าจะได้รับ	๖
บทที่ 2 งานวิจัยที่เกี่ยวข้อง	๗
บทที่ 3 ทฤษฎีที่เกี่ยวข้อง	๑๖
3.1 ทฤษฎีกระบวนการรอบแแห้ง	๑๖
3.2 ทฤษฎีการทำงานของระบบฮีตปีม	๒๗
3.3 การวิเคราะห์ประสิทธิภาพการรอบแแห้ง	๓๖
3.4 ท่อแลกเปลี่ยนความร้อน	๓๘
3.5 ผลไม้อบแห้ง	๔๑
3.6 การวิเคราะห์เชิงเศรษฐศาสตร์	๔๒
บทที่ 4 วิธีดำเนินการวิจัย	๔๕
4.1 การออกแบบตู้อบแห้ง	๔๕
4.2 การออกแบบระบบฮีตปีม	๕๐
4.3 อุปกรณ์ที่ใช้ในการทดลอง	๖๔
4.4 ขั้นตอนในการทดลอง	๖๔
บทที่ 5 ผลการวิเคราะห์ข้อมูล	๗๐
บทที่ 6 สรุปผลการวิจัย และข้อเสนอแนะ	๑๐๙
6.1 สรุปผลการวิจัย	๑๐๙
6.2 ข้อเสนอแนะ	๑๑๐

สารบัญ (ต่อ)

	หน้า
รายการอ้างอิง.....	111
ภาคผนวก.....	115
ภาคผนวก ก กราฟและตารางแสดงผลการทดลอง	116
ภาคผนวก ข วิธีหาค่าดัชนีของสมการการแพร่ความชื้น.....	184
ภาคผนวก ค เครื่องวัดหาค่า Water Activity (A_w) ของอาหาร	202
ประวัติผู้เขียนวิทยานิพนธ์.....	207



สารบัญตาราง

ตารางที่	หน้า
5.1 เปรียบเทียบผลการวิเคราะห์ประสิทธิภาพการอบแห้งระหว่างการทดลองอบแห้งชนิดใช้ตัวบีมร่วมกับท่อแลกเปลี่ยนความร้อนและใช้เครื่องทำความร้อนด้วยกับการทดลองอบแห้งชนิดใช้เครื่องทำความร้อนอย่างเดียว	102
5.2 เปรียบเทียบค่าใช้จ่ายระหว่างการทดลองอบแห้งชนิดใช้ตัวบีมร่วมกับท่อแลกเปลี่ยนความร้อนและใช้เครื่องทำความร้อนด้วย กับการทดลองอบแห้งชนิดใช้เครื่องทำความร้อนอย่างเดียว	103
5.3 เปรียบเทียบค่าใช้จ่าย เมื่อดำเนินการอบแห้ง คิดเป็นร้อยละต่อจำนวนชั่วโมงการทำงานใน 1 วัน	104
ก.1 แสดงความซึ้นเฉลี่ยของผลไม้และค่า Water Activity ในแต่ละชั่วโมงในการทดลองอบแห้งชนิดใช้ตัวบีมร่วมกับท่อแลกเปลี่ยนความร้อนและใช้เครื่องทำความร้อนด้วย ที่อุณหภูมิ 60 องศาเซลเซียส และความเร็วลมของ 1.20 เมตรต่อวินาที	135
ก.2 แสดงความซึ้นเฉลี่ยของผลไม้และค่า Water Activity ในแต่ละชั่วโมงในการทดลองอบแห้งชนิดใช้ตัวบีมร่วมกับท่อแลกเปลี่ยนความร้อนและใช้เครื่องทำความร้อนด้วย ที่อุณหภูมิ 60 องศาเซลเซียส และความเร็วลมของ 1.43 เมตรต่อวินาที	136
ก.3 แสดงความซึ้นเฉลี่ยของผลไม้และค่า Water Activity ในแต่ละชั่วโมงในการทดลองอบแห้งชนิดใช้ตัวบีมร่วมกับท่อแลกเปลี่ยนความร้อนและใช้เครื่องทำความร้อนด้วย ที่อุณหภูมิ 70 องศาเซลเซียส และความเร็วลมของ 1.20 เมตรต่อวินาที	137
ก.4 แสดงความซึ้นเฉลี่ยของผลไม้และค่า Water Activity ในแต่ละชั่วโมงในการทดลองอบแห้งชนิดใช้ตัวบีมร่วมกับท่อแลกเปลี่ยนความร้อนและใช้เครื่องทำความร้อนด้วย ที่อุณหภูมิ 70 องศาเซลเซียส และความเร็วลมของ 1.43 เมตรต่อวินาที	138
ก.5 แสดงความซึ้นเฉลี่ยของผลไม้และค่า Water Activity ในแต่ละชั่วโมงในการทดลองอบแห้งชนิดใช้เครื่องทำความร้อนอย่างเดียว ที่อุณหภูมิ 60 องศาเซลเซียส และความเร็วลมของ 1.20 เมตรต่อวินาที	139
ก.6 แสดงความซึ้นเฉลี่ยของผลไม้และค่า Water Activity ในแต่ละชั่วโมงในการทดลองอบแห้งชนิดใช้เครื่องทำความร้อนอย่างเดียว ที่อุณหภูมิ 60 องศาเซลเซียส และความเร็วลมของ 1.43 เมตรต่อวินาที	140

สารบัญตาราง

ตารางที่	หน้า
ก.7 แสดงความซึ้นเฉลี่ยของผลไม้และค่า Water Activity ในแต่ละชั่วโมง ในการทดลองอบแห้งชนิดใช้เครื่องทำความร้อนอย่างเดียว ที่อุณหภูมิ 70 องศาเซลเซียส และความเร็วลมของ 1.20 เมตรต่อวินาที	141
ก.8 แสดงความซึ้นเฉลี่ยของผลไม้และค่า Water Activity ในแต่ละชั่วโมง ในการทดลองอบแห้งชนิดใช้เครื่องทำความร้อนอย่างเดียว ที่อุณหภูมิ 70 องศาเซลเซียส และความเร็วลมของ 1.43 เมตรต่อวินาที	142
ก.9 อุณหภูมิและความซึ้นสัมพัทธ์ของอากาศ ณ ตำแหน่งต่าง ๆ ที่วัดได้จากการทดลอง อบแห้งชนิดใช้iertปั๊มร่วมกับท่อแลกเปลี่ยนความร้อนและใช้เครื่องทำความร้อนด้วย ที่อุณหภูมิ 60 องศาเซลเซียส และความเร็วลมของอากาศ 1.20 เมตรต่อวินาที	164
ก.10 อุณหภูมิและความซึ้นสัมพัทธ์ของอากาศ ณ ตำแหน่งต่าง ๆ ที่วัดได้จากการทดลอง อบแห้งชนิดใช้iertปั๊มร่วมกับท่อแลกเปลี่ยนความร้อนและใช้เครื่องทำความร้อนด้วย ที่อุณหภูมิ 60 องศาเซลเซียส และความเร็วลมของอากาศ 1.43 เมตรต่อวินาที	165
ก.11 อุณหภูมิและความซึ้นสัมพัทธ์ของอากาศ ณ ตำแหน่งต่าง ๆ ที่วัดได้จากการทดลอง อบแห้งชนิดใช้iertปั๊มร่วมกับท่อแลกเปลี่ยนความร้อนและใช้เครื่องทำความร้อนด้วย ที่อุณหภูมิ 70 องศาเซลเซียส และความเร็วลมของอากาศ 1.20 เมตรต่อวินาที	166
ก.12 อุณหภูมิและความซึ้นสัมพัทธ์ของอากาศ ณ ตำแหน่งต่าง ๆ ที่วัดได้จากการทดลอง อบแห้งชนิดใช้iertปั๊มร่วมกับท่อแลกเปลี่ยนความร้อนและใช้เครื่องทำความร้อนด้วย ที่อุณหภูมิ 70 องศาเซลเซียส และความเร็วลมของอากาศ 1.43 เมตรต่อวินาที	167
ก.13 อุณหภูมิและความซึ้นสัมพัทธ์ของอากาศ ณ ตำแหน่งต่าง ๆ ที่วัดได้จากการทดลอง อบแห้งชนิดใช้iertปั๊มร่วมกับท่อแลกเปลี่ยนความร้อนและใช้เครื่องทำความร้อนด้วย ที่ระยะเวลาต่าง ๆ	168
ก.14 อุณหภูมิและความซึ้นสัมพัทธ์ของอากาศ ณ ตำแหน่งต่าง ๆ ที่วัดได้จากการทดลอง อบแห้งชนิดใช้iertปั๊มร่วมกับท่อแลกเปลี่ยนความร้อนและใช้เครื่องทำความร้อนด้วย ที่ความยาวของตู้อบแห้งระยะต่าง ๆ	169
ก.15 อุณหภูมิและความซึ้นสัมพัทธ์ของอากาศ ณ ตำแหน่งต่าง ๆ ที่วัดได้จากการทดลอง อบแห้งชนิดใช้เครื่องทำความร้อนอย่างเดียว ที่อุณหภูมิ 60 องศาเซลเซียส และความเร็วลมของอากาศ 1.20 เมตรต่อวินาที	170
ก.16 อุณหภูมิและความซึ้นสัมพัทธ์ของอากาศ ณ ตำแหน่งต่าง ๆ ที่วัดได้จากการทดลอง อบแห้งชนิดใช้เครื่องทำความร้อนอย่างเดียว ที่อุณหภูมิ 60 องศาเซลเซียส และความเร็วลมของอากาศ 1.43 เมตรต่อวินาที	172

สารบัญตาราง (ต่อ)

ตารางที่	หน้า
ก.17 อุณหภูมิและความชื้นสัมพัทธ์ของอากาศ ณ ตำแหน่งต่าง ๆ ที่วัดได้จากการทดลอง อบแห้งชนิดใช้เครื่องทำความร้อนอย่างเดียว ที่อุณหภูมิ 70 องศาเซลเซียส และความเร็วลมของอากาศ 1.20 เมตรต่อวินาที	174
ก.18 อุณหภูมิและความชื้นสัมพัทธ์ของอากาศ ณ ตำแหน่งต่าง ๆ ที่วัดได้จากการทดลอง อบแห้งชนิดใช้เครื่องทำความร้อนอย่างเดียว ที่อุณหภูมิ 70 องศาเซลเซียส และความเร็วลมของอากาศ 1.43 เมตรต่อวินาที	176
ก.19 อุณหภูมิและความชื้นสัมพัทธ์ของอากาศ ณ ตำแหน่งต่าง ๆ ที่วัดได้จากการทดลอง อบแห้งชนิดใช้เครื่องทำความร้อนอย่างเดียว ที่ระยะเวลาต่าง ๆ	178
ก.20 อุณหภูมิและความชื้นสัมพัทธ์ของอากาศ ณ ตำแหน่งต่าง ๆ ที่วัดได้จากการทดลอง อบแห้งชนิดใช้เครื่องทำความร้อนอย่างเดียว ที่ความยาวของดูบแห้งระยะต่าง ๆ .	180
ก.21 เปรียบเทียบผลการวิเคราะห์ประสิทธิภาพการทดลองอบแห้งชนิดใช้อีตปั่ม ^ร ร่วมกับท่อแลกเปลี่ยนความร้อนและใช้เครื่องทำความร้อนด้วย	182
ก.22 เปรียบเทียบผลการวิเคราะห์ประสิทธิภาพการทดลองอบแห้งชนิดใช้ เครื่องทำความร้อนอย่างเดียว	183

**ศูนย์วิทยทรัพยากร
จุฬาลงกรณ์มหาวิทยาลัย**

สารบัญภาพ

รูปที่		หน้า
3.1	แผนภาพแสดงอิทธิพลของ A_w ต่ออัตราการเสื่อมเสียคุณภาพของอาหาร.....	24
3.2	หลักการทำงานของระบบทำความเย็นและระบบอีตีปัม	28
3.3	วัสดุจกรย้อนกลับของคาร์บอน	28
3.4	ส่วนประกอบของระบบอีตีปัม.....	30
3.5	วัสดุจกรอีตีปัมแบบอัดไดอ่างอุดมคติ.....	31
3.6	การเบรียบเทียบพฤติกรรมของวัสดุจกรจริงกับวัสดุจกรทางอุดมคติ ของอีตีปัมแบบอัดไดอ.....	32
3.7	การวิเคราะห์วัสดุจกรอีตีปัมบนแผนภูมิความดันและเอนthalpy	33
3.8	การทำงานของท่อแลกเปลี่ยนความร้อน	38
4.1	แผนภูมิความดันและเอนthalpyของเครื่องอบแห้งชนิดใช้อีตีปัม	54
4.2	เครื่องอบแห้งชนิดใช้อีตีปัมร่วมกับท่อแลกเปลี่ยนความร้อน และใช้เครื่องทำความร้อนด้วย	58
4.3	อีตีปัมที่มีส่วนประกอบของท่อแลกเปลี่ยนความร้อน.....	59
4.4	ภาพภายในของอีตีปัมที่มีส่วนประกอบของท่อแลกเปลี่ยนความร้อน	59
4.5	แผนภาพตำแหน่งที่ตั้งของเครื่องอบแห้งชนิดใช้อีตีปัมร่วมกับท่อแลกเปลี่ยน ความร้อนและใช้เครื่องทำความร้อนด้วยในการทำวิจัย	60
4.6	แบบขนาดของอีตีปัม	61
4.7	แบบขนาดของตู้อบแห้ง	62
4.8	แบบขนาดของถุงอบแห้ง	63
4.9	การทำงานของระบบอบแห้งชนิดใช้อีตีปัมร่วมกับท่อแลกเปลี่ยนความร้อน และใช้เครื่องทำความร้อนด้วย	65
4.10	สภาพอากาศที่ผ่านในส่วนของอีตีปัมที่มีท่อแลกเปลี่ยนความร้อน	66
4.11	การทำงานของระบบอบแห้งชนิดใช้เครื่องทำความร้อนอย่างเดียว	66
4.12	สับปะรดแซ่บอิมที่วางแผนเรียงบนตะแกรง	67
4.13	เครื่องควบคุมอุณหภูมิ	67
4.14	ตะแกรงสับปะรดวางแผนเรียงในตู้อบแห้ง	68
4.15	เครื่อง Norasina AW SPRINT	68
5.1	แสดงส่วนของตู้อบแห้ง	72

สารบัญภาพ (ต่อ)

สารบัญภาพ (ต่อ)

รูปที่	หน้า
ก.9 กราฟแสดงความสัมพันธ์ระหว่างการกระจายอุณหภูมิที่จุดต่าง ๆ ของระบบ กับเวลาที่ใช้ ในการทดลองอบแห้งชนิดใช้เครื่องทำความร้อนอย่างเดียว ที่อุณหภูมิ 70 องศาเซลเซียส และความเร็วลมของอากาศ 1.20 เมตรต่อวินาที	121
ก.10 กราฟแสดงความสัมพันธ์ระหว่างการกระจายอุณหภูมิที่จุดต่าง ๆ ของระบบ กับเวลาที่ใช้ ในการทดลองอบแห้งชนิดใช้เครื่องทำความร้อนอย่างเดียว ที่อุณหภูมิ 70 องศาเซลเซียส และความเร็วลมของอากาศ 1.43 เมตรต่อวินาที	121
ก.11 กราฟแสดงความสัมพันธ์ระหว่างการกระจายอุณหภูมิที่จุดต่าง ๆ ของระบบ กับเวลาที่ใช้ ในการทดลองอบแห้งชนิดใช้เครื่องทำความร้อนอย่างเดียว ที่ระยะเวลาต่าง ๆ	122
ก.12 กราฟแสดงความสัมพันธ์ระหว่างการกระจายอุณหภูมิที่จุดต่าง ๆ ของระบบ กับเวลาที่ใช้ ในการทดลองอบแห้งชนิดใช้เครื่องทำความร้อนอย่างเดียว ที่ความยาวของตู้อบแห้งระยะต่าง ๆ	122
ก.13 กราฟแสดงความสัมพันธ์ระหว่างความชื้นสัมพัทธ์ของอากาศที่จุดต่างๆ ของระบบ กับเวลาที่ใช้ ในการทดลองอบแห้งชนิดใช้ตัวปั๊มร่วมกับท่อแลกเปลี่ยนความร้อน และใช้เครื่องทำความร้อนด้วย ที่อุณหภูมิ 60 องศาเซลเซียส และความเร็วลม ของอากาศ 1.20 เมตรต่อวินาที	123
ก.14 กราฟแสดงความสัมพันธ์ระหว่างความชื้นสัมพัทธ์ของอากาศที่จุดต่างๆ ของระบบ กับเวลาที่ใช้ ในการทดลองอบแห้งชนิดใช้ตัวปั๊มร่วมกับท่อแลกเปลี่ยนความร้อน และใช้เครื่องทำความร้อนด้วย ที่อุณหภูมิ 60 องศาเซลเซียส และความเร็วลม ของอากาศ 1.43 เมตรต่อวินาที	123
ก.15 กราฟแสดงความสัมพันธ์ระหว่างความชื้นสัมพัทธ์ของอากาศที่จุดต่างๆ ของระบบ กับเวลาที่ใช้ ในการทดลองอบแห้งชนิดใช้ตัวปั๊มร่วมกับท่อแลกเปลี่ยนความร้อน และใช้เครื่องทำความร้อนด้วย ที่อุณหภูมิ 70 องศาเซลเซียส และความเร็วลม ของอากาศ 1.20 เมตรต่อวินาที	124
ก.16 กราฟแสดงความสัมพันธ์ระหว่างความชื้นสัมพัทธ์ของอากาศที่จุดต่างๆ ของระบบ กับเวลาที่ใช้ ในการทดลองอบแห้งชนิดใช้ตัวปั๊มร่วมกับท่อแลกเปลี่ยนความร้อน และใช้เครื่องทำความร้อนด้วย ที่อุณหภูมิ 70 องศาเซลเซียส และความเร็วลม ของอากาศ 1.43 เมตรต่อวินาที	124

สารบัญภาพ (ต่อ)

รูปที่	หน้า
ก.17 กราฟแสดงความสัมพันธ์ระหว่างความชื้นสัมพัทธ์ของอากาศที่จุดต่างๆ ของระบบ กับเวลาที่ใช้ ในการทดลองอบแห้งชนิดใช้ยีต้มร่วมกับท่อแลกเปลี่ยนความร้อน และใช้เครื่องทำความร้อนด้วย ที่ระยะเวลาต่างๆ	125
ก.18 กราฟแสดงความสัมพันธ์ระหว่างความชื้นสัมพัทธ์ของอากาศที่จุดต่างๆ ของระบบ กับเวลาที่ใช้ ในการทดลองอบแห้งชนิดใช้ยีต้มร่วมกับท่อแลกเปลี่ยนความร้อน และใช้เครื่องทำความร้อนด้วย ที่ความยาวของตู้อบแห้งระยะต่างๆ	125
ก.19 กราฟแสดงความสัมพันธ์ระหว่างความชื้นสัมพัทธ์ของอากาศที่จุดต่างๆ ของระบบ กับเวลาที่ใช้ ในการทดลองอบแห้งชนิดใช้เครื่องทำความร้อนอย่างเดียว ที่อุณหภูมิ 60 องศาเซลเซียส และความเร็วลมของอากาศ 1.20 เมตรต่อวินาที	126
ก.20 กราฟแสดงความสัมพันธ์ระหว่างความชื้นสัมพัทธ์ของอากาศที่จุดต่างๆ ของระบบ กับเวลาที่ใช้ ในการทดลองอบแห้งชนิดใช้เครื่องทำความร้อนอย่างเดียว ที่อุณหภูมิ 60 องศาเซลเซียส และความเร็วลมของอากาศ 1.43 เมตรต่อวินาที	126
ก.21 กราฟแสดงความสัมพันธ์ระหว่างความชื้นสัมพัทธ์ของอากาศที่จุดต่างๆ ของระบบ กับเวลาที่ใช้ ในการทดลองอบแห้งชนิดใช้เครื่องทำความร้อนอย่างเดียว ที่อุณหภูมิ 70 องศาเซลเซียส และความเร็วลมของอากาศ 1.20 เมตรต่อวินาที	127
ก.22 กราฟแสดงความสัมพันธ์ระหว่างความชื้นสัมพัทธ์ของอากาศที่จุดต่างๆ ของระบบ กับเวลาที่ใช้ ในการทดลองอบแห้งชนิดใช้เครื่องทำความร้อนอย่างเดียว ที่อุณหภูมิ 70 องศาเซลเซียส และความเร็วลมของอากาศ 1.43 เมตรต่อวินาที	127
ก.23 กราฟแสดงความสัมพันธ์ระหว่างความชื้นสัมพัทธ์ของอากาศที่จุดต่างๆ ของระบบ กับเวลาที่ใช้ ในการทดลองอบแห้งชนิดใช้เครื่องทำความร้อนอย่างเดียว ที่ระยะเวลาต่างๆ	128
ก.24 กราฟแสดงความสัมพันธ์ระหว่างความชื้นสัมพัทธ์ของอากาศที่จุดต่างๆ ของระบบ กับเวลาที่ใช้ ในการทดลองอบแห้งชนิดใช้เครื่องทำความร้อนอย่างเดียว ที่ความยาวของตู้อบแห้งระยะต่างๆ	128
ก.25 กราฟแสดงความสัมพันธ์ระหว่างอุณหภูมิของอากาศ กับเวลาที่ใช้ ในการทดลองอบแห้งชนิดใช้ยีต้มร่วมกับท่อแลกเปลี่ยนความร้อน และใช้เครื่องทำความร้อนด้วย ที่อุณหภูมิ 60 องศาเซลเซียส และความเร็วลม ของอากาศ 1.20 เมตรต่อวินาที	129

สารบัญภาพ (ต่อ)

สารบัญภาพ (ต่อ)

รูปที่	หน้า
ก.35 ภาพแสดงความสัมพันธ์ระหว่างอุณหภูมิของอากาศ กับเวลาที่ใช้ในการทดลองอบแห้งชนิดใช้เครื่องทำความร้อนอย่างเดียว ที่ระยะเวลาต่างๆ	134
ก.36 ภาพแสดงความสัมพันธ์ระหว่างอุณหภูมิของอากาศ กับเวลาที่ใช้ในการทดลองอบแห้งชนิดใช้เครื่องทำความร้อนอย่างเดียว ที่ความยาวของตู้อบแห้งระยะต่างๆ.....	134
ก.37 ภาพแสดงความสัมพันธ์ระหว่างความชื้นเฉลี่ยของสับปะรดเชื่อม กับเวลาที่ใช้ในการทดลองอบแห้งชนิดใช้ศีตปั้นร่วมกับท่อแลกเปลี่ยนความร้อนและใช้เครื่องทำความร้อนด้วย ที่อุณหภูมิ 60 องศาเซลเซียส และความเร็วลมของอากาศ 1.20 เมตรต่อวินาที	135
ก.38 ภาพแสดงความสัมพันธ์ระหว่างความชื้นเฉลี่ยของสับปะรดเชื่อม กับเวลาที่ใช้ในการทดลองอบแห้งชนิดใช้ศีตปั้นร่วมกับท่อแลกเปลี่ยนความร้อนและใช้เครื่องทำความร้อนด้วย ที่อุณหภูมิ 60 องศาเซลเซียส และความเร็วลมของอากาศ 1.43 เมตรต่อวินาที	136
ก.39 ภาพแสดงความสัมพันธ์ระหว่างความชื้นเฉลี่ยของสับปะรดเชื่อม กับเวลาที่ใช้ในการทดลองอบแห้งชนิดใช้ศีตปั้นร่วมกับท่อแลกเปลี่ยนความร้อนและใช้เครื่องทำความร้อนด้วย ที่อุณหภูมิ 70 องศาเซลเซียส และความเร็วลมของอากาศ 1.20 เมตรต่อวินาที	137
ก.40 ภาพแสดงความสัมพันธ์ระหว่างความชื้นเฉลี่ยของสับปะรดเชื่อม กับเวลาที่ใช้ในการทดลองอบแห้งชนิดใช้ศีตปั้นร่วมกับท่อแลกเปลี่ยนความร้อนและใช้เครื่องทำความร้อนด้วย ที่อุณหภูมิ 70 องศาเซลเซียส และความเร็วลมของอากาศ 1.43 เมตรต่อวินาที	138
ก.41 ภาพแสดงความสัมพันธ์ระหว่างความชื้นเฉลี่ยของสับปะรดเชื่อม กับเวลาที่ใช้ในการทดลองอบแห้งชนิดใช้เครื่องทำความร้อนอย่างเดียว ที่อุณหภูมิ 60 องศาเซลเซียส และความเร็วลมของอากาศ 1.20 เมตรต่อวินาที	139
ก.42 ภาพแสดงความสัมพันธ์ระหว่างความชื้นเฉลี่ยของสับปะรดเชื่อม กับเวลาที่ใช้ในการทดลองอบแห้งชนิดใช้เครื่องทำความร้อนอย่างเดียว ที่อุณหภูมิ 60 องศาเซลเซียส และความเร็วลมของอากาศ 1.43 เมตรต่อวินาที	140
ก.43 ภาพแสดงความสัมพันธ์ระหว่างความชื้นเฉลี่ยของสับปะรดเชื่อม กับเวลาที่ใช้ในการทดลองอบแห้งชนิดใช้เครื่องทำความร้อนอย่างเดียว ที่อุณหภูมิ 70 องศาเซลเซียส และความเร็วลมของอากาศ 1.20 เมตรต่อวินาที	141

สารบัญภาพ (ต่อ)

รูปที่	หน้า
ก.44 ภาพแสดงความสัมพันธ์ระหว่างความชื้นเฉลี่ยของสับปะรดแซ่บ กับเวลาที่ใช้ในการทดลองอบแห้งชนิดใช้เครื่องทำความร้อนอย่างเดียว ที่อุณหภูมิ 70 องศาเซลเซียส และความเร็วลมของอากาศ 1.43 เมตรต่อวินาที	142
ก.45 ภาพแสดงความสัมพันธ์ระหว่างปริมาณน้ำที่ระเหยจากสับปะรดแซ่บ กับเวลาที่ใช้ ใน การทดลองอบแห้งชนิดใช้iertปั๊มร่วมกับท่อแลกเปลี่ยนความร้อน และใช้เครื่องทำความร้อนด้วย ที่อุณหภูมิ 60 องศาเซลเซียส และความเร็วลมของอากาศ 1.20 เมตรต่อวินาที	143
ก.46 ภาพแสดงความสัมพันธ์ระหว่างปริมาณน้ำที่ระเหยจากสับปะรดแซ่บ กับเวลาที่ใช้ ใน การทดลองอบแห้งชนิดใช้iertปั๊มร่วมกับท่อแลกเปลี่ยนความร้อน และใช้เครื่องทำความร้อนด้วย ที่อุณหภูมิ 60 องศาเซลเซียส และความเร็วลมของอากาศ 1.43 เมตรต่อวินาที	143
ก.47 ภาพแสดงความสัมพันธ์ระหว่างปริมาณน้ำที่ระเหยจากสับปะรดแซ่บ กับเวลาที่ใช้ ใน การทดลองอบแห้งชนิดใช้iertปั๊มร่วมกับท่อแลกเปลี่ยนความร้อน และใช้เครื่องทำความร้อนด้วย ที่อุณหภูมิ 70 องศาเซลเซียส และความเร็วลมของอากาศ 1.20 เมตรต่อวินาที	144
ก.48 ภาพแสดงความสัมพันธ์ระหว่างปริมาณน้ำที่ระเหยจากสับปะรดแซ่บ กับเวลาที่ใช้ ใน การทดลองอบแห้งชนิดใช้iertปั๊มร่วมกับท่อแลกเปลี่ยนความร้อน และใช้เครื่องทำความร้อนด้วย ที่อุณหภูมิ 70 องศาเซลเซียส และความเร็วลมของอากาศ 1.43 เมตรต่อวินาที	144
ก.49 ภาพแสดงความสัมพันธ์ระหว่างปริมาณน้ำที่ระเหยจากสับปะรดแซ่บ กับเวลาที่ใช้ ใน การทดลองอบแห้งชนิดใช้เครื่องทำความร้อนอย่างเดียว ที่อุณหภูมิ 60 องศาเซลเซียส และความเร็วลมของอากาศ 1.20 เมตรต่อวินาที	145
ก.50 ภาพแสดงความสัมพันธ์ระหว่างปริมาณน้ำที่ระเหยจากสับปะรดแซ่บ กับเวลาที่ใช้ ใน การทดลองอบแห้งชนิดใช้เครื่องทำความร้อนอย่างเดียว ที่อุณหภูมิ 60 องศาเซลเซียส และความเร็วลมของอากาศ 1.43 เมตรต่อวินาที	145
ก.51 ภาพแสดงความสัมพันธ์ระหว่างปริมาณน้ำที่ระเหยจากสับปะรดแซ่บ กับเวลาที่ใช้ ใน การทดลองอบแห้งชนิดใช้เครื่องทำความร้อนอย่างเดียว ที่อุณหภูมิ 70 องศาเซลเซียส และความเร็วลมของอากาศ 1.20 เมตรต่อวินาที	146

สารบัญภาพ (ต่อ)

รูปที่	หน้า
ก.52 กราฟแสดงความสัมพันธ์ระหว่างปริมาณน้ำที่ระเหยจากสับปะรดแซ่บ กับเวลาที่ใช้ ในการทดลองอุณหภูมิ 70 องศาเซลเซียส และความเร็วลมของอากาศ 1.43 เมตรต่อวินาที	146
ก.53 กราฟแสดงความสัมพันธ์ระหว่างความชื้นเปลี่ยนของสับปะรดแซ่บ กับเวลาที่ใช้ ในการทดลองอุณหภูมิ 70 องศาเซลเซียส และความเร็วลมของอากาศ 1.20 เมตรต่อวินาที.....	147
ก.54 กราฟแสดงความสัมพันธ์ระหว่างความชื้นเปลี่ยนของสับปะรดแซ่บ กับเวลาที่ใช้ ในการทดลองอุณหภูมิ 70 องศาเซลเซียส และความเร็วลมของอากาศ 1.43 เมตรต่อวินาที.....	147
ก.55 กราฟแสดงความสัมพันธ์ระหว่างความชื้นเปลี่ยนของสับปะรดแซ่บ กับเวลาที่ใช้ ในการทดลองอุณหภูมิ 60 องศาเซลเซียส.....	148
ก.56 กราฟแสดงความสัมพันธ์ระหว่างความชื้นเปลี่ยนของสับปะรดแซ่บ กับเวลาที่ใช้ ในการทดลองอุณหภูมิ 70 องศาเซลเซียส.....	148
ก.57 กราฟแสดงความสัมพันธ์ระหว่างความชื้นเปลี่ยนของสับปะรดแซ่บ กับเวลาที่ใช้ ในการทดลองอุณหภูมิ 70 องศาเซลเซียส และความเร็วลมของอากาศ 1.20 เมตรต่อวินาที	149
ก.58 กราฟแสดงความสัมพันธ์ระหว่างความชื้นเปลี่ยนของสับปะรดแซ่บ กับเวลาที่ใช้ ในการทดลองอุณหภูมิ 70 องศาเซลเซียส และความเร็วลมของอากาศ 1.43 เมตรต่อวินาที	149
ก.59 กราฟแสดงความสัมพันธ์ระหว่างความชื้นเปลี่ยนของสับปะรดแซ่บ กับเวลาที่ใช้ ในการทดลองอุณหภูมิ 60 องศาเซลเซียส ที่ความเร็วลมของอากาศ 1.43 เมตรต่อวินาที	150
ก.60 กราฟแสดงความสัมพันธ์ระหว่างความชื้นเปลี่ยนของสับปะรดแซ่บ กับเวลาที่ใช้ ในการทดลองอุณหภูมิ 60 องศาเซลเซียส	150
ก.61 กราฟแสดงความสัมพันธ์ระหว่างความชื้นเปลี่ยนของสับปะรดแซ่บ กับเวลาที่ใช้ ในการทดลองอุณหภูมิ 70 องศาเซลเซียส	151

สารบัญภาพ (ต่อ)

สารบัญภาพ (ต่อ)

รูปที่		หน้า
ก.72	กราฟแสดงความสัมพันธ์ระหว่างปริมาณน้ำที่ระเหยจากสับปะรดเชื่อมกับเวลาที่ใช้ในการทดลองอุบแห้งชนิดใช้เครื่องทำความร้อนอย่างเดียวที่อุณหภูมิ 70 องศาเซลเซียส	156
ก.73	กราฟแสดงความสัมพันธ์ระหว่างปริมาณน้ำที่ระเหยจากสับปะรดเชื่อมกับเวลาที่ใช้ในการทดลองอุบแห้งชนิดใช้เครื่องทำความร้อนอย่างเดียวที่ระยะเวลาต่าง ๆ	157
ก.74	กราฟแสดงความสัมพันธ์ระหว่างปริมาณน้ำที่ระเหยจากสับปะรดเชื่อมกับเวลาที่ใช้ในการทดลองอุบแห้งชนิดใช้เครื่องทำความร้อนอย่างเดียวที่ความยาวของตู้อบแห้งระยะต่าง ๆ	157
ก.75	กราฟแสดงความสัมพันธ์ระหว่างความชื้นเฉลี่ยของสับปะรดเชื่อม กับเวลาที่ใช้โดยเปรียบเทียบระหว่างการทดลองแห้ง 2 แบบ	158
ก.76	กราฟแสดงความสัมพันธ์ระหว่างปริมาณน้ำที่ระเหยจากสับปะรดเชื่อม กับเวลาที่ใช้โดยเปรียบเทียบระหว่างการทดลองแห้ง 2 แบบ	159
ก.77	กราฟแสดงความสัมพันธ์ระหว่างความชื้นเฉลี่ยของสับปะรดเชื่อม กับเวลาที่ใช้ในการทดลองอุบแห้งชนิดใช้ฮีตบีมร่วมกับท่อแลกเปลี่ยนความร้อน และใช้เครื่องทำความร้อนด้วย ที่อุณหภูมิ 60 องศาเซลเซียส และความเร็วลม ของอากาศ 1.20 เมตรต่อวินาที ณ ตำแหน่งต่าง ๆ ของตู้อบแห้ง	160
ก.78	กราฟแสดงความสัมพันธ์ระหว่างความชื้นเฉลี่ยของสับปะรดเชื่อม กับเวลาที่ใช้ในการทดลองอุบแห้งชนิดใช้ฮีตบีมร่วมกับท่อแลกเปลี่ยนความร้อน และใช้เครื่องทำความร้อนด้วย ที่อุณหภูมิ 60 องศาเซลเซียส และความเร็วลม ของอากาศ 1.43 เมตรต่อวินาที ณ ตำแหน่งต่าง ๆ ของตู้อบแห้ง	160
ก.79	กราฟแสดงความสัมพันธ์ระหว่างความชื้นเฉลี่ยของสับปะรดเชื่อม กับเวลาที่ใช้ในการทดลองอุบแห้งชนิดใช้ฮีตบีมร่วมกับท่อแลกเปลี่ยนความร้อน และใช้เครื่องทำความร้อนด้วย ที่อุณหภูมิ 70 องศาเซลเซียส และความเร็วลม ของอากาศ 1.20 เมตรต่อวินาที ณ ตำแหน่งต่าง ๆ ของตู้อบแห้ง	161
ก.80	กราฟแสดงความสัมพันธ์ระหว่างความชื้นเฉลี่ยของสับปะรดเชื่อม กับเวลาที่ใช้ในการทดลองอุบแห้งชนิดใช้ฮีตบีมร่วมกับท่อแลกเปลี่ยนความร้อน และใช้เครื่องทำความร้อนด้วย ที่อุณหภูมิ 70 องศาเซลเซียส และความเร็วลม ของอากาศ 1.43 เมตรต่อวินาที ณ ตำแหน่งต่าง ๆ ของตู้อบแห้ง	161

สารบัญภาพ (ต่อ)

รูปที่		หน้า
ก.81	กราฟแสดงความสัมพันธ์ระหว่างความชื้นเฉลี่ยของสับปะรดแซ่บอิม กับเวลาที่ใช้ในการทดลองอบแห้งชนิดใช้เครื่องทำความร้อนอย่างเดียว ที่อุณหภูมิ 60 องศาเซลเซียส และความเร็วลมของอากาศ 1.20 เมตรต่อวินาที ณ ตำแหน่งต่าง ๆ ของตู้อบแห้ง	162
ก.82	กราฟแสดงความสัมพันธ์ระหว่างความชื้นเฉลี่ยของสับปะรดแซ่บอิม กับเวลาที่ใช้ในการทดลองอบแห้งชนิดใช้เครื่องทำความร้อนอย่างเดียว ที่อุณหภูมิ 60 องศาเซลเซียส และความเร็วลมของอากาศ 1.43 เมตรต่อวินาที ณ ตำแหน่งต่าง ๆ ของตู้อบแห้ง	162
ก.83	กราฟแสดงความสัมพันธ์ระหว่างความชื้นเฉลี่ยของสับปะรดแซ่บอิม กับเวลาที่ใช้ในการทดลองอบแห้งชนิดใช้เครื่องทำความร้อนอย่างเดียว ที่อุณหภูมิ 70 องศาเซลเซียส และความเร็วลมของอากาศ 1.20 เมตรต่อวินาที ณ ตำแหน่งต่าง ๆ ของตู้อบแห้ง	163
ก.84	กราฟแสดงความสัมพันธ์ระหว่างความชื้นเฉลี่ยของสับปะรดแซ่บอิม กับเวลาที่ใช้ในการทดลองอบแห้งชนิดใช้เครื่องทำความร้อนอย่างเดียว ที่อุณหภูมิ 70 องศาเซลเซียส และความเร็วลมของอากาศ 1.43 เมตรต่อวินาที ณ ตำแหน่งต่าง ๆ ของตู้อบแห้ง	163
ค.1	เครื่อง Norasina AW SPRINT	205
ค.2	มาตรฐาน Humidity Standards จำนวน 6 ค่า	205
ค.3	ใส่สับปะรดแซ่บอิมลงในถ้วยพลาสติกขาวชุ่น	206
ค.4	วางถ้วยพลาสติกลงใน Measuring Chamber	206

คุณยุวพงษ์ทรัพย์การ
จุฬาลงกรณ์มหาวิทยาลัย

คำอธิบายสัญลักษณ์และคำย่อ

สัญลักษณ์		หน่วย
A	พื้นที่ของวัสดุ	m^2
C	ความเข้มข้นของความชื้น	kg/m^2
COP_{re}	Coefficient of performance for refrigeration	
COP_{hp}	Coefficient of performance for heat pump	
c	ความร้อนจำเพาะของสับปะรดเชื่อม	$kJ/kg \text{ } ^\circ C$
c_a	ความร้อนจำเพาะของอากาศ	$kJ/kg \text{ } ^\circ C$
D	สัมประสิทธิ์การแพร่ความชื้น	m^2/hr
d	มวลของผลไม้แห้ง	kg
ERH	ความชื้นสัมพัทธ์สมดุล	เปอร์เซ็นต์
h	เอนthalpieในระบบที่จุดใด ๆ	kJ/kg
h_d	สัมประสิทธิ์การถ่ายเทมวัลสาร	m/hr
h_{fg}	ความร้อนแผงของการระเหยของน้ำ	$kJ / kg-H_2O$
h'	สัมประสิทธิ์การพาความร้อน	$kJ/m^2 \text{ } ^\circ C\text{-hr}$
M_d	ความชื้นเริ่มต้น	เศษส่วนมาตราฐานแห้ง
M_{eq}	ความชื้นสมดุล	เศษส่วนมาตราฐานแห้ง
M_w	ความชื้นเริ่มต้น	เศษส่วนมาตราฐานเปียก
$M_{0.5}$	ความชื้นของผลไม้ที่ความชื้นสัมพัทธ์ 50 %	เศษส่วนมาตราฐานแห้ง
m_f	อัตราการให้หลังมวลของสารทำความเย็น	kg/s
m_p	มวลของผลไม้	kg
\dot{m}_a	อัตราการให้หลังมวลอากาศแห้ง	kg/hr
\dot{m}_w	อัตราการถ่ายเทมวัลสาร	kg/hr
P	ความดันสูญเสียทั้งระบบ	Pa
P_m	กำลังงานมอเตอร์พัดลม	kW
Q	ความร้อนที่แลกเปลี่ยนระหว่างปริมาตรควบคุม และสิ่งแวดล้อม	kJ
Q_a	อัตราการให้หลังปริมาตรของอากาศ	m^3/s
\dot{Q}_c	ความสามารถในการทำความร้อนสูตรของค้อนเดนเชอร์	kW

สัญลักษณ์	หน่วย
\dot{Q}_e	ความสามารถในการทำความเย็นสุทธิของเครื่องระเหย kW
\dot{Q}_h	ความร้อนจากขาด漉ความร้อนให้แก่อากาศ kW
\dot{Q}_p	ความสามารถในการทำความเย็นและร้อนของท่อแลกเปลี่ยนความร้อน kW
q_c	ความสามารถในการทำความร้อนต่อมวล kJ/kg
q_e	ความสามารถในการทำความเย็นต่อมวล kJ/kg
q_w	พลังงานที่ป้อนให้กับคอมเพรสเซอร์ทางอุดมคติ kJ/kg
RH	ความชื้นสัมพัทธิ์ของอากาศ %RH
T	อุณหภูมิของอากาศ °C
T_{ci}	อุณหภูมิของอากาศก่อนเข้าคอนเดนเซอร์ °C
T_{co}	อุณหภูมิของอากาศหลังเข้าคอนเดนเซอร์ °C
T_{ei}	อุณหภูมิของอากาศก่อนเข้าเครื่องระเหย °C
T_{eo}	อุณหภูมิของอากาศหลังเข้าเครื่องระเหย °C
T_h	แหล่งความร้อนอุณหภูมิสูง °C
T_{hi}	อุณหภูมิของอากาศก่อนเข้าขาด漉ความร้อน °C
T_{ho}	อุณหภูมิของอากาศข้ออกจากขาด漉ความร้อน °C
T_L	แหล่งความร้อนอุณหภูมิต่ำ °C
T_{pi}	อุณหภูมิของอากาศก่อนเข้าท่อแลกเปลี่ยนความร้อน °C
T_{po}	อุณหภูมิของอากาศหลังเข้าท่อแลกเปลี่ยนความร้อน °C
t	เวลา hr
v_f	อัตราการไหลเชิงปริมาตรของสารทำความเย็น m³/s
v	ปริมาตรจำเพาะของสารทำความเย็นที่เครื่องระเหย m³/kg
W	อัตราส่วนความชื้น kg water / kg dry air
W	งานเพลาที่แลกเปลี่ยนระหว่างปริมาตรควบคุมและสิ่งแวดล้อม
	รวมกับงานจากการหดหรือขยายตัวของปริมาตรควบคุม kJ
W_i	มวลของผลไม้เริ่มต้น kg
W_c	งานที่ป้อนให้กับคอมเพรสเซอร์ทางอุดมคติ kW
x	ระยะ m

สัญลักษณ์	หน่วย
ρ	ความหนาแน่นของสับปะรดแข็ง kg/m ³
ρ_a	ความหนาแน่นของอากาศ kg/m ³
ΔH	การเปลี่ยนเอนthalpie ของกระบวนการไหลดของของไหลด kJ
ΔKE	การเปลี่ยนแปลงพลังงานจลน์ kJ
ΔPE	การเปลี่ยนแปลงพลังงานศักย์ kJ
ΔU	การเปลี่ยนแปลงพลังงานภายในของปริมาตรควบคุม kJ
ΔU_p	การเปลี่ยนแปลงพลังงานภายในของผลไม้แข็ง ต่อหนึ่งหน่วยมวลอากาศแห้ง kJ/kg-dry air
η_f	ประสิทธิภาพของพัดลม
η_m	ประสิทธิภาพทางกลของมอเตอร์

ศูนย์วิทยทรัพยากร
จุฬาลงกรณ์มหาวิทยาลัย